

УДК 539.17.01, 539.173

ДИНАМИКО-СТАТИСТИЧЕСКАЯ МОДЕЛЬ ПРОЦЕССА ДЕЛЕНИЯ ТЯЖЕЛЫХ ЯДЕР

**М. Х. Эсламизадех, В. А. Дроздов, Д. О. Еременко, С. Ю. Платонов,
О. В. Фотина, О. А. Юминов**
(НИИЯФ)

E-mail: eremenko@p6-lnr.sinp.msu.ru

Предложен динамико-статистический подход к описанию реакции вынужденного деления тяжелых ядер, учитывающий явление ядерной диссипации. Возможности такого подхода продемонстрированы на примере анализа экспериментальных данных по вероятностям деления ядер изотопов Ри, выходам изомеров формы и полной длительности деления для реакции $\alpha + {}^{238}\text{U}$ при $E_\alpha = (20 \div 32)$ МэВ.

Введение

В настоящее время представления о двугорбой структуре барьера деления [1]очно вошли в ядерную физику. Наличие второго глубокого минимума на потенциальной поверхности тяжелых ядер при деформациях, примерно соответствующих седловой точке жидкокапельного барьера деления, с единых позиций объясняет многие экспериментальные данные, в частности природу спонтанно делящихся изомеров (изомеров формы) [2], подбарьерных делительных резонансов [2] и др. В работе [3] было показано, что существование двух классов возбужденных состояний у тяжелых ядер в первой и второй потенциальных ямах двугорбого барьера деления оказывает существенное влияние на длительность распада таких систем. Так, для целого ряда изотопов Nr, Ри, Ра и U была экспериментально обнаружена временная задержка вынужденного деления по сравнению с длительностью их распада по каналам, связанным с испарением легких частиц [4]. Природа этой задержки обусловлена конечным временем жизни возбужденных состояний второй потенциальной ямы. Однако анализ экспериментальных данных по длительности протекания реакций вынужденного деления, выходу изомеров формы, делимости и др. [2–4] до сих пор проводился лишь в рамках статистической теории ядерных реакций. При этом предполагалось полное затухание коллективного движения во второй потенциальной яме. Вместе с тем анализ динамики прохождения ядром двугорбого барьера деления в рамках диффузационной модели деления [5], учитывающий явление ядерной вязкости, показал, что для ядер изотопов Ra, Nr, Ри и U значения вероятности заселения второй потенциальной ямы отличаются от единицы. Кроме того, в [6] убедительно продемонстрирована необходимость учета динамических аспектов процесса прохождения делящейся системой второй потенциальной ямы при анализе угловых распределений осколков деления ядер, об-

ладающих двугорбым барьером деления. Отметим, что до настоящего времени не существовало теоретического подхода, позволяющего с единых позиций описывать упомянутые экспериментальные данные и учитывающего явление диссипации кинетической энергии коллективного ядерного движения.

Настоящая работа посвящена разработке такого подхода и его апробации на примере описания выхода изомеров формы, делимости и длительности деления ядер изотопов Ри, образующихся в реакции $\alpha + {}^{238}\text{U}$.

1. Модель

В рамках предлагаемой модели потенциальная энергия делящегося ядра вычислялась как сумма потенциальных энергий жидкокапельной $V_{ld}(r, J)$ [7] для вращающегося ядра с угловым моментом J и оболочечной поправки δw :

$$V(r, J, T) = V_{ld}(r, J) + \delta w(r) \left[1 + \exp \left(\frac{T - T_0}{d} \right) \right]^{-1}.$$

Здесь, r — расстояние между центрами масс формирующихся осколков деления. Выражение в квадратных скобках описывает затухание оболочечных эффектов с ростом температуры T [8]. Значения параметров $T_0 = 1.75$ МэВ и $d = 0.2$ МэВ взяты из работы [8]. Для расчетов зависимости оболочечной поправки от деформации r использовалась аппроксимация двугорбого барьера деления гладко сшитыми параболами [5]. В пределе нулевой температуры $\delta w(r)$ полагалось равным разности упомянутой аппроксимации и $V_{ld}(r, J = 0)$. Следует отметить, что при проведении такой процедуры использовались значения равновесной деформации и соответствующей оболочечной поправки, представленные в [9], а также положение внутреннего барьера деления из [10]. Другие параметры двугорбых барьеров деления (глубина второй потенциальной ямы, высота внешнего барьера) полагались свободными. В каче-

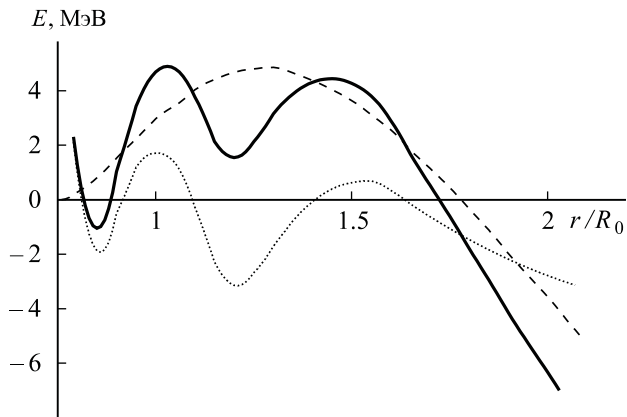


Рис. 1. Результаты расчетов двугорбого барьера деления (сплошная кривая), оболочечной поправки (точечная кривая) и жидкокапельного барьера деления (штриховая кривая) для ^{241}Pu

стве демонстрации на рис. 1 приведены результаты расчетов двугорбого барьера деления и оболочечной поправки для ^{241}Pu .

Эмиссия легких частиц (n , p и α) и γ -квантов рассматривалась в рамках формализма Хаузера–Фешбаха [11]. Ширины распада по каналам, связанным с переходами через внутренний и внешний барьеры деления, рассчитывались по соотношениям Бора–Уиллера с учетом поправки Крамерса [12]. Для расчетов плотности уровней использовалась феноменологическая модель, позволяющая проводить взаимосогласованный учет когерентных возбуждений колективной природы (ротационных и вибрационных), корреляционных эффектов сверхпроводящего типа, а также оболочечных эффектов [11]. При вычислении коэффициентов ротационного наращивания плотности уровней, следуя [4, 13], использовалось следующие предположение о типе симметрии формы ядра: аксиально-асимметричная и зеркально-симметричная форма в первой седловой точке; аксиально-симметричная и зеркально-асимметричная во второй седловой точке и полностью асимметричная форма во второй яме барьера деления.

В рамках настоящего подхода при расчете наблюдаемых характеристик вынужденного деления использовался метод Монте-Карло. Вероятности распада по различным каналам задавались соотношениями между значениями соответствующих ширин распада. Если случайная выборка канала распада приводила к переходу ядра из первой потенциальной ямы во вторую, то для моделирования дальнейшей эволюции делящегося ядра использовалась система стохастических уравнений Ланжевена [14] для колективной координаты r и соответствующего импульса p :

$$\frac{dr}{dt} = \frac{p}{m(r)}, \quad (1)$$

$$\frac{dp}{dt} = -\frac{1}{2} \left(\frac{p}{m(r)} \right)^2 \frac{dm(r)}{dr} - \frac{dV}{dr} - \beta(r)p + f(t).$$

Здесь f — случайная сила с амплитудой $\eta(Tm\beta)^{1/2}$, а η — случайное число, обладающее следующими свойствами: $\langle \eta(t) \rangle = 0$ и $\langle \eta(t_1)\eta(t_2) \rangle = 2\delta(t_1 - t_2)$. Для инерционного параметра $m(r)$ использовалась аппроксимация микроскопических расчетов, полученная в [15]. Параметр затухания делительной моды β полагался зависящим от температуры ядра T и рассчитывался на основе выражения $\beta \approx 0.6T^2/(1 + T^2/40)$, также являющейся хорошей аппроксимацией микроскопических расчетов, выполненных в рамках теории линейного отклика [16]. При численном интегрировании уравнений (1) (методы описаны в [15]) начальные значения r и p разыгрывались методом Неймана с образующей функцией

$$\Phi(r, p, J) \sim \frac{\rho_{1f}(E^* - B_f^1 - \varepsilon, J)}{1 + \exp\left(-\frac{2\pi\varepsilon}{\hbar\omega_{1f}}\right)} \delta(r - r_{1f}),$$

здесь E^* — энергия возбуждения делящегося ядра, $\varepsilon = p^2/(2m)$ — кинетическая энергия колективного движения, $\rho_{1f}(E)$ — плотность уровней в первой седловой точке, B_f^1 — величина внутреннего барьера деления, ω_{1f} и r_{1f} — кривизна барьера деления и значение колективной координаты в первой седловой точке соответственно. В ходе моделирования динамики прохождения двугорбого барьера деления с помощью уравнений Ланжевена также учитывалась эмиссия легких частиц и γ -квантов по традиционной для динамических расчетов схеме [17].

Результатом моделирования динамики прохождения двугорбого барьера деления являлись следующие возможности: 1) преодоление внешнего барьера деления и достижение точки разрыва; 2) возвращение системы в первую потенциальную яму (в этом случае все расчеты повторялись заново); 3) заселение второй потенциальной ямы и оставление там ядра вследствие эмиссии частиц или γ -квантов. Последние события интерпретировались как образование изомеров формы. На рис. 2 приведены характерные ланжевеновские траектории, иллюстрирующие все три возможности. Подчеркнем, что такая схема расчетов позволяет учесть как процесс затухания колективного движения во второй потенциальной яме, так и процесс «прямого» деления, т. е. без заселения второй потенциальной ямы [5]. В заключение следует обсудить еще один возможный сценарий развития процесса деления, а именно подбарьерный переход из первой потенциальной ямы во вторую. В этом случае считалось, что заселение второй ямы происходит с вероятностью единица, и уравнения Ланжевена не решались. Распад же возбужденных состояний второй ямы рассматривался в рамках статистических расчетов, описанных выше, но с уч-

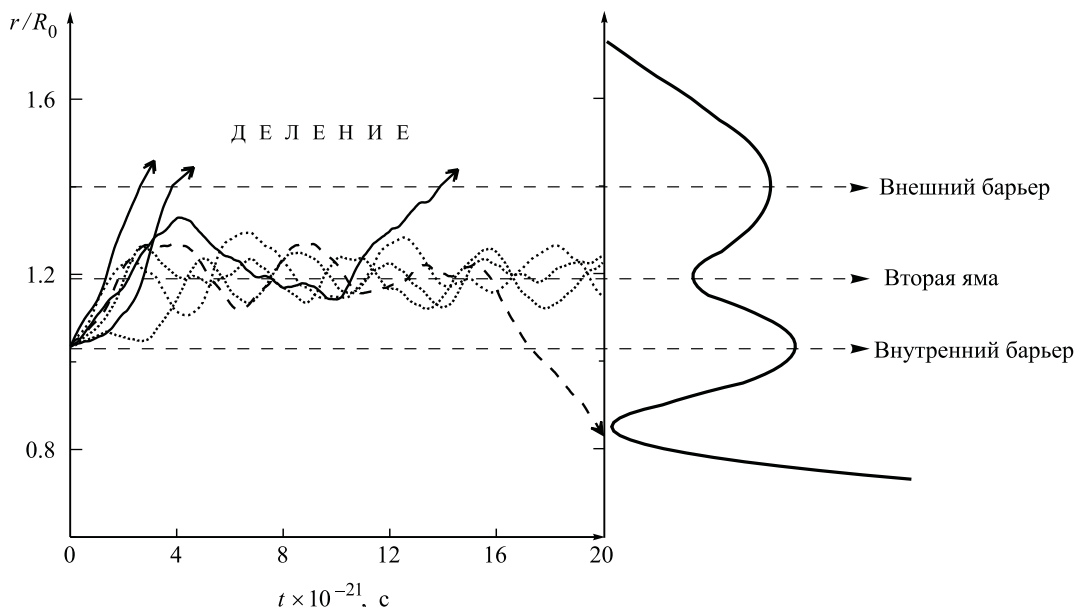


Рис. 2. Характерные ланженовские траектории (R_0 — радиус сферического ядра)

Параметры двугорбого барьера деления для ядер изотопов Ри

Ядро	Высота внутреннего барьера B_f^1 , МэВ		Высота внешнего барьера B_f^2 , МэВ		Глубина второй потенциальной ямы ΔE_2 , МэВ	
	Результаты настоящей работы	Данные систематики [2]	Результаты настоящей работы	Данные систематики [2]	Результаты настоящей работы	Данные систематики [2]
^{242}Pu	5.75	5.60 ± 0.20	5.30	5.10 ± 0.20	1.95	—
^{241}Pu	5.95	6.10 ± 0.20	5.30	5.40 ± 0.20	1.70	1.90 ± 0.20
^{240}Pu	5.65	5.30 ± 0.20	5.00	5.10 ± 0.20	1.90	2.40 ± 0.20
^{239}Pu	6.12	6.20 ± 0.20	5.12	5.50 ± 0.20	2.20	2.60 ± 0.20

том возможности обратного подбарьерного перехода в первую потенциальную яму.

2. Анализ экспериментальных данных

В настоящей работе апробация предлагаемого подхода проведена на примере описания экспериментальных данных по вероятностям деления ядер — изотопов Ри, временам деления [19] и выходам изомеров формы [20] для реакции $\alpha + ^{238}\text{U}$ при $E_\alpha = (20 \div 32)$ МэВ. Как уже отмечалось, при расчетах деформационной зависимости оболочечной поправки ряд параметров двугорбого барьера деления полагался свободными и определялся исходя из условия наилучшего описания экспериментальных данных.

Так, для определения высоты и кривизны внутреннего барьера деления использовались экспериментальные данные по вероятностям деления. Рис. 3 демонстрирует описание данных по вероятностям деления для ряда изотопов Ри. Значения полученных высот внутренних барьеров представлены в таблице. Здесь следует отметить, что величина других параметров двугорбого барьера деления (высоты внутренних барьеров и глубины второй ямы) не оказывают заметного влияния на резуль-

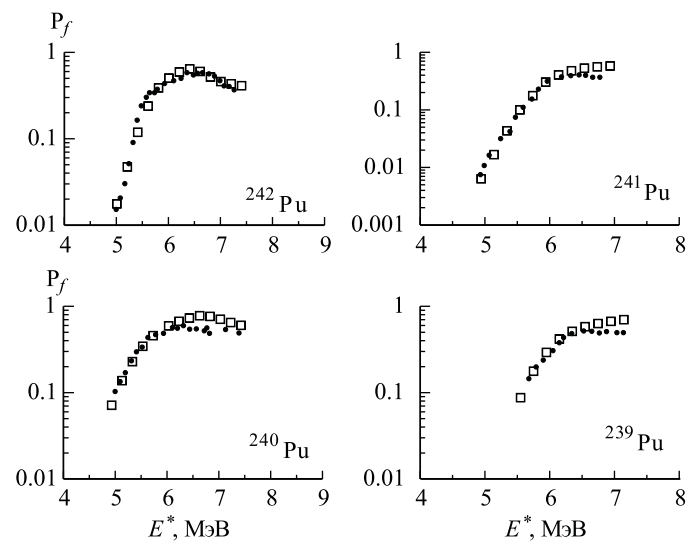


Рис. 3. Вероятности деления для ядер — изотопов Ри: ● — экспериментальные данные [18], □ — результаты расчетов

таты этих расчетов, так как в случае изотопов Ри высота внутреннего барьера деления существенно превышает высоту внешнего. Вероятность деления в этом случае будет определяться в основном высо-

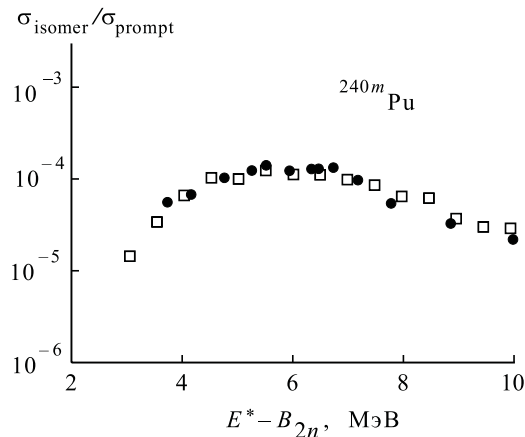


Рис. 4. Выход изомера формы 240m Pu для реакции $\alpha + ^{238}\text{U}$: • — экспериментальные данные [19], □ — результаты расчетов

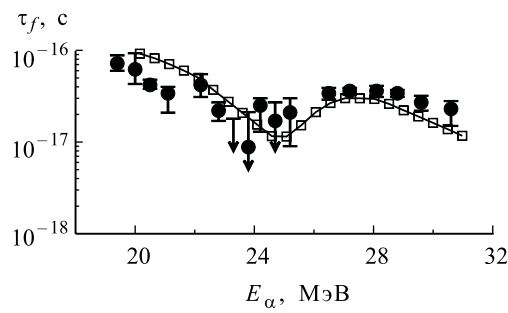


Рис. 5. Длительность деления для реакции $\alpha + ^{238}\text{U}$: • — экспериментальные данные [20]. Символы □, соединенные кривой, — результаты расчетов

той и кривизной внутреннего барьера. Глубина второй потенциальной ямы и высота внешнего барьера деления определялись исходя из условия наилучшего описания экспериментальных данных по выходу изомера формы 240m Pu (рис. 4) и длительности деления (рис. 5) для рассматриваемой реакции. В таблице полученные таким образом значения параметров двугорбых барьеров деления сравниваются с данными хорошо известной систематики [2]. Таким образом, в рамках предлагаемой динамико-статистической модели с одним и тем же набором параметров впервые удалось достичь согласованного описания экспериментальных данных по вероятностям деления, выходам изомеров формы и временам деления для реакции $\alpha + ^{238}\text{U}$ при $E_\alpha = (20 \div 32)$ МэВ.

Выводы

В настоящей работе предложен динамико-статистический подход к описанию реакции вынужденного деления тяжелых ядер, учитывающий явление ядерной диссипации, двугорбую структуру барьера деления и температурную зависимость оболочечной поправки. Возможности такого подхода при изучении процесса вынужденного деления продемонстрированы на примере анализа экспериментальных данных по вероятностям деления ядер изотопов Pu, выходам изомеров формы и полной длительности деления для реакции $\alpha + ^{238}\text{U}$ при $E_\alpha = (20 \div 32)$ МэВ.

Литература

- Strutinsky V.M. // Nucl. Phys. A. 1967. **95**. P. 420.
- Lynn J.E., Bjørnholm S. // Rev. Mod. Phys. 1980. **52**. P. 725.
- Юминов О.А. XIV Всесоюзное совещание по физике взаимодействия заряженных частиц с кристаллами. М., 1984. С. 68.
- Еременко Д.О., Платонов С.Ю., Фотина О.В., Юминов О.А. // Ядерная физика. 1998. **61**. С. 773.
- Eremenko D.O., Platonov S.Yu., Fotina O.V. et al. // Intern. J. Mod. Phys. E. 1995. **4**. P. 443.
- Eremenko D.O., Mellado B., Platonov S.Yu. et al. // J. Phys. G.: Nucl. Part. Phys. 1996. **22**. P. 1077.
- Leston J.P. // Phys. Rev. C. 1995. **51**. P. 38.
- Eremenko D.O., Fotina O.V., Giardina G. et al. // Ядерная физика. 2002. **65**. С. 18.
- <http://nrv.jinr.ru/nrv/>.
- <http://www-nds.iaea.org/RIP-2/>.
- Игнатюк А.В. Статистические свойства возбужденных атомных ядер. М., 1983.
- Kramers H.A. // Physica. 1940. **7**. P. 284.
- Platonov S.Yu., Fotina O.V., Yuminov O.A. // Nucl. Phys. 1989. **A503**. P. 461.
- Abe Y., Ayik S., Reinhard P.-G., Suraud E. // Phys. Rep. 1996. **275**. P. 49.
- Randrup J., Larsson S.E., Moller P. et al. // Phys. Rev. C. 1976. **13**. P. 229.
- Hofmann H., Ivanyuk F.A., Rummel C. et al. // Phys. Rev. C. 2001. **64**. P. 054316-1-16.
- Frobrich P., Gontchar I.I. // Phys. Rep. 1998. **292**. P. 349.
- Горбачев В.М., Замятин Ю.С., Лбов А.А. Взаимодействие излучений с ядрами тяжелых элементов и деление ядер: Справочник. М., 1976.
- Britt B.C., Burnett S.C., Erkkila B.H. et al. // Phys. Rev. C. 1971. **4**. P. 1444.
- Grusha O.V., Kordyukevich V.O., Melikov Yu.V. et al. // Nucl. Phys. A. 1984. **429**. P. 313.

Поступила в редакцию
24.01.07